

徳島大学工学部 正員 青山吉隆  
徳島大学大学院 学員〇藤沢一仁

### [1] はじめに

都市計画においては土地利用の将来像を予見することが重要な課題とされており、そのアプローチの方法を大別すると、マクロ経済的な視点からの接近、ミクロ経済的な視点からの接近、そして本研究で扱う直接的に土地利用を対象とする視点からの接近に分類できる。本研究では直接的に土地利用の用途を対象とし、住宅、商業、工業等の土地利用用途の都市内分布とその動態をモデル化しようと試みている。モデル化にあたっては予測対象地域の大きさに応じて予測モデルの構成と内容は異なっており、上位段階の地域レベルから下位段階の地区レベルへとブレーカウントしながら調整していく方法を提案する。また、予測システムに関する手法は交通需要予測手法からのアナロジーが多いた。

### [2] 都市レベルでの土地利用予測

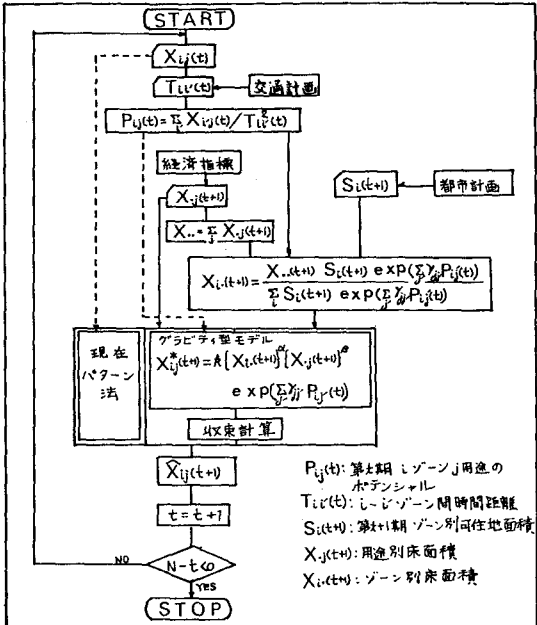
表-1 第七期 都市レベル土地利用表

用途	... j ... n	計	
1	$X_{11}(t) \dots X_{1j}(t) \dots X_{1n}(t)$	$X_{1..}(t)$	$X_{ij}(t)$ : ゾーン j 用途の床面積
i	$X_{i1}(t) \dots X_{ij}(t) \dots X_{in}(t)$	$X_{i..}(t)$	$X_{ij}(t)$ : ノード i の床面積
m	$X_{m1}(t) \dots X_{mj}(t) \dots X_{mn}(t)$	$X_{m..}(t)$	$X_{..}(t)$ : 総床面積
計	$X_{-1..}(t) \dots X_{-j..}(t) \dots X_{-n..}(t)$	$X_{-..}(t)$	

都市レベルでの土地利用予測に関してはすでに提案を行なった。<sup>1), 2)</sup> すなわち、図-1のフローチャートに示すように第*t*期の都市レベル土地利用表（ゾーン別用途別床面積）を入力する。ポテンシャルとゾーン別床面積を時間距離、ゾーン別可住地面積および用途別床面積が外生的にこの予測システムに与えられると仮定して計算する。そして短期予測の場合は現在パターン法、長期予測の場合はグラビティ型予測モデルと収束計算によって第*t+1*期の都市レベル土地利用表を推定する。第*N*期上地利用表が推定されるまでこの予測過程を繰り返す。

本研究ではケーススタディとして大阪市を例にと、この都市レベル土地利用予測システムの信頼性を調べて

図-1 都市レベル土地利用予測モデル・フローチャート



いる。表-2、表-3 はそれぞれ昭和45年の土地利用表を初期入力データとして図-2のフローチャートに従って昭和46年～49年の土地利用表を予測し、実績値と比較した結果を示している。これによると現在パターン法による場合がグラビティ型モデルの場合より精度が良い。これは対象都市において予測期間が短かく、しかも土地利用パターンの変化が小さかたためである。しかし長期間の予測や土地利用

表-2 現在パターン法による場合

の変化が著しい場合には、

都市交通施設整備による土地利用へのインパクトを表現できるグラビティ型モデル

の方が現在パターン法による場合よりも適合度が良くなると考えられる。

年	相関係数	$\chi^2$ 値 $10^4$	RMS $10^3$
46	0.9813	0.2987	0.1743
47	0.9818	0.2971	0.1772
48	0.9820	0.3023	0.1815
49	0.9814	0.3226	0.1921

表-3 グラビティ型モデルによる場合

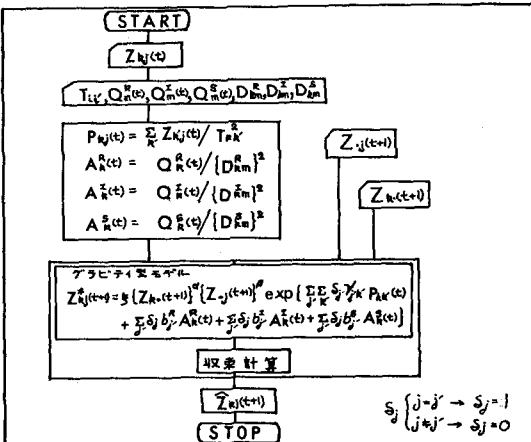
年	相関係数	$\chi^2$ 値 $10^4$	RMS $10^3$
46	0.9527	1.079	0.2744
47	0.9319	14.528	0.3360
48	0.8950	2.3133	0.4393
49	0.8410	3.8010	0.5974

### (3) ゾーンレベルでの土地利用予測

表-4 第七期 ゾーンレベル土地利用表

メッシュ	1	...	j	...	n	計
1	$Z_{11}(t)$	...	$Z_{1j}(t)$	...	$Z_{1n}(t)$	$Z_{1\cdot}(t)$
k	$Z_{k1}(t)$	...	$Z_{kj}(t)$	...	$Z_{kn}(t)$	$Z_{k\cdot}(t)$
r	$Z_{r1}(t)$	...	$Z_{rj}(t)$	...	$Z_{rn}(t)$	$Z_{r\cdot}(t)$
計	$Z_{\cdot 1}(t)$	...	$Z_{\cdot j}(t)$	...	$Z_{\cdot n}(t)$	$Z_{\cdot \cdot}(t)$

図-2 ゾーンレベル土地利用予測モデル・フローチャート



ゾーンレベルでの土地利用予測モデルは次のようにある。すなわち、予測対象とするゾーンを500mメッシュに分割してメッシュ内の各用途別土地利用面積の分布とその動態を予見するモデルである。ここでは予測対象地域が小地区であるのでモデル化する場合、鉄道駅から近いとか幹線道路から近いとかいうように、そのメッシュの土地利用に影響を与える要因を数量化して予測モデルの説明変数としなければならない。本研究ではこのような説明変数をボテンシャル、アクセシビリティで定義し、これらの指標が直接土地利用に影響を及ぼすと仮定して図-2に示すグラビティ型モデルを提案した。図中  $P_{kj}(t)$  は第七期の  $k$  メッシュ  $j$  用途がそのゾーン内の他のすべての用途から受ける影響の程度を示す指標であり、 $A_k^R(t)$  は幹線道路による  $k$  メッシュのアクセシビリティ。 $A_k^I(t)$ ,  $A_k^S(t)$  はそれぞれインター・チェンジ、鉄道駅によるアクセシビリティである。

本研究ではゾーンレベル土地利用予測モデルの信頼性を検定するため昭和40年(第七期)のゾーンレベル土地利用表を入力として、図-2

のフローチャートに従って昭和50年(第七期)の土地利用表を予測して実績値と比較する。表-5はその結果を示した表であり、大阪市22区のうち北区(メッシュ数22)、城東区(78)、東淀川区(117)、東住吉区(124)に対して適用した結果である。これより先述の「都市レベルでの予測」に比べるヒューリスティクス度はやや低いが、対象地域の狭い予測モデルとしてはかなり良い結果が得られていると言える。

### (4) 予測モデルの体系化

本研究では土地利用予測地域の大きさに応じて2つの予測モデルを提案した。そして両予測モデルは大阪市において実証的に検証し、有意な結果を得た。しかし都市レベル土地利用予測モデルは用途別の床面積を予測するモデルであるのに対してゾーンレベル土地利用予測モデルは用途別の土地利用面積を予測するモデルである。そこで本研究で提案するゾーンレベル土地利用予測モデルにそのゾーン内の用途別容積率を導入して、土地利用面積を床面積に変換することができるならば、両者の土地利用表の関係を次のように関連づけて体系化するヒューリスティクス度が可能になり得ると思われる。すなわちゾーンレベルにおける用途別床面積はその上位段階である都市レベルでの予測モデルから外生的に与えられ、ゾーンレベルにおける予測モデルではコントロール・トータルとして作用するようにモデル化することである。すなわち、表-1において  $X_{ij}$  をレゾーン  $j$  用途の床面積、表-4において  $Z_{kj}$  を  $k$  メッシュ  $j$  用途の床面積とするヒューリスティクス度が都市レベル土地利用予測モデルから土地利用表( $X_{ij}$ )がアウトプットされる。これはレゾーンの用途別床面積であるからレゾーンの  $Z_{\cdot j}$  に等しい。

$$X_{ij} = Z_{\cdot j} \quad (j=1, 2, \dots, n)$$

ゆえに、レゾーンのゾーンレベル土地利用表の用途別床面積  $Z_{\cdot j}$  はレゾーンを1つの地区として含む都市レベル土地利用表から予測され、ゾーンレベル土地利用表にヒューリスティクス度となる。このように任意の大きさの地域の土地利用表を多段階の推定プロセスによって推定することが可能となり今後各レベルにおける予測モデルの開発が本研究の土地利用表という共通の基盤において進めば、各モデルの比較評価が容易になると同時に土地利用の体系化が可能になると思われる。

地区名	相関係数	R <sup>2</sup> 値 10 <sup>-3</sup>	RMS 10 <sup>-3</sup>
北区	0.8670	1.4030	0.1430
城東区	0.8083	2.8534	0.1543
東淀川区	0.8046	1.5632	0.1569
東住吉区	0.9201	6.6455	0.1043